

کد کنترل

335

F

335F

آزمون (نیمه‌تمددی) ورود به دوره‌های دکتری – سال ۱۴۰۱

دفترچه شماره (۱)

صبح جمعه ۱۴۰۰/۱۲/۶



جمهوری اسلامی ایران

وزارت علوم، تحقیقات و فناوری

سازمان سنجش اموزشی ارشاد

اگر دانشگاه اصلاح شود مملکت اصلاح می‌شود
امام خمینی (ره)

رشته مهندسی متالورژی و مواد (کد ۲۳۵۹)

جدول مواد امتحانی، تعداد، شماره سوال‌ها و زمان پاسخ‌گویی

مجموعه دروس تخصصی	مواد امتحانی
تعداد سوال	تعداد سوال
از شماره	تا شماره
– خواص فیزیکی مواد – ازبودنامیک – خواص مکانیکی مواد	۱۵۰
– روش‌های شناسایی و آنالیز مواد	۴۵
۱	۴۵

استفاده از ماشین حساب مجاز نیست.

این آزمون نمره منفی دارد.

حق جاپ، تکرار و انتشار سوال‌های هر روش (الکترونیکی و...) پس از برگزاری آزمون، برای تمامی اشخاص جنیفی و حقوقی تنها با مجوز این سازمان مجاز می‌باشد و با مخالفان برای هنرات رفتار نمود.

*** متقاضی گرامی، وارد نکردن مشخصات و امضا در کادر زیر، به منزله غیبت و حضور نداشتن در جلسه آزمون است.

اینچنانچه..... با شماره داوطلبی با آگاهی کامل، یکسان بودن شماره صندلی خود را با شماره داوطلبی مندرج در بالای کارت ورود به جلسه، بالای پاسخ‌نامه و دفترچه سوال‌ها، نوع و کد کنترل درج شده بر روی دفترچه سوال‌ها و یا میان پاسخ‌نامه‌ام را تأیید می‌نمایم.

امضا:

-۱ فرمول یک جامد یونی بلوری به صورت AB و نسبت شعاعی در آن به صورت $r(A^+)/r(B^-) = 1.25$ است. اگر

$r(B^-) = 1.25 \text{ \AA}$ باشد، در آن صورت چگالی اتفاق خطی B^- در جهت $[1 \ 1 \ 1]$ بر حسب a/at° چقدر است؟

$$\frac{\sqrt{6}}{4}$$

$$\frac{\sqrt{5}}{4}$$

$$\frac{\sqrt{8}}{4}$$

$$\frac{\sqrt{2}}{4}$$

-۲ در ترکیب A_2B_4 ساعت کاتیون (A) برابر 22° آنگستروم و ساعت آبیون (B) برابر 122° آنگستروم است. کدام گزینه در مورد این ترکیب درست نیست؟

(۱) نسبت بالای بار کاتیون به آبیون منجر به تابیداری ساختار کریستالی این ترکیب می‌شود.

(۲) تشکیل این ترکیب به صورت آمورف محتمل شواز تشکیل آن به صورت کریستالی است.

(۳) عدد همسایگی ساختار کریستالی این ترکیب پائین است.

(۴) دافعه شدیدی بین مراکز کاتیوتی این ترکیب وجود دارد.

-۳ مس خالص را در دو حالت (A) اندازه دانه 35 میکرون و حالت (B) اندازه دانه 20 نانومتر در نظر بگیرید. به ترتیب در کدام حالت ماده مقاومت بیشتری در برابر تردی ناشی از تشعشعات نوترونی و در کدام حالت ماده مقاومت بیشتری در برابر خوردگی دارد؟

(۱) مقاوم‌تر در برابر تشعشعات نوترونی و نیز مقاوم‌تر در برابر خوردگی است.

(۲) مقاوم‌تر در برابر تشعشعات نوترونی و نیز مقاوم‌تر در برابر خوردگی است.

(۳) مقاوم‌تر در برابر تشعشعات نوترونی و A مقاوم‌تر در برابر خوردگی است.

(۴) A مقاوم‌تر در برابر تشعشعات نوترونی و B مقاوم‌تر در برابر خوردگی است.

-۴ فرض کنید در یک دمای مشخص در هر 5 سلول واحد NaCl یک عیب شانکی و یک عیب فرانکل وجود داشته باشد، نسبت دانسیته کریستال در این حالت به دانسیته کریستال کامل NaCl چقدر است؟

$$0.95$$

$$0.967$$

$$0.85$$

$$0.9$$

-۵ فرض کنید سطح یک کریستال FCC مواری صفحات (۲۲۰) است. ارزی سطحی این کریستال چند برابر نسبت انرژی پیوند به مجذور پارامتر شبکه این کریستال است؟

$$4$$

$$4.5$$

$$3$$

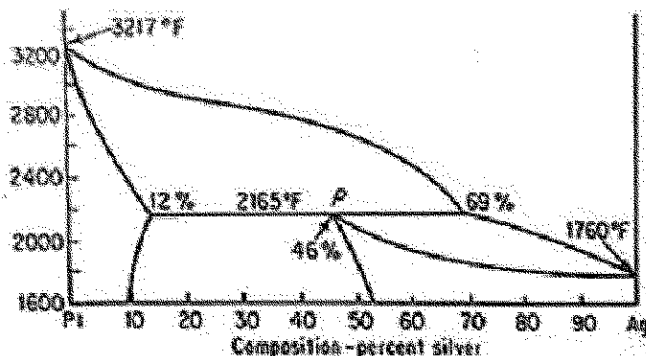
$$3.5$$

-۶ خین استحاله آلوتروپیک Sn ساختار کریستالی آن از BCT در دمای بالا به مکعبی الماسی (DC) در دمای پایین تبدیل می‌شود. کدام گزینه در مورد این استحاله درست است؟

- (۱) انتروپی کریستال بهدلیل افزایش فاکتور تراکم اتمی Sn افزایش می‌باید.
- (۲) انتالپی کریستال بهدلیل افزایش فاکتور تراکم اتمی Sn کاهش می‌باید.
- (۳) انتروپی کریستال بهدلیل افزایش قدرت پیوندهای بین اتمی Sn افزایش می‌باید.
- (۴) انتالپی کریستال بهدلیل افزایش قدرت پیوندهای بین اتمی Sn کاهش می‌باید.

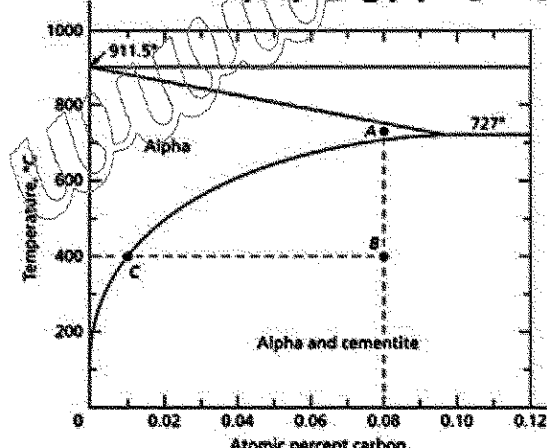
-۷ در یک آلیاز Pt-Ag در دمای $2165^{\circ}\text{F} + \Delta T$ ، ۸۰٪ انجامد کامل شده است. درصد وزنی تقریبی دو فاز جامد در

این آلیاز در دمای 160°F چقدر است؟



-۸ فرض کنید مطابق نمودار فازی زیر آلیازی از آهن حاوی ۱۰٪ کربن در درجه حرارت 727°C (نقطه A) به اندازه کافی نگهداری شده تا یک محلول جامد همگن Fe-C به دست آید. سپس این آلیاز تا دمای 400°C (نقطه B) سریع سرد شده و در آن دما نگهداری می‌شود تا اتم‌های اضافی کربن موجود در زمینه محلول جامد فوق اشباع، به صورت کاربید آهن (سمنتیت Fe_3C) در زمینه فرمی رسوی نمایند. اگر رسب کاربیدی به صورت هسته ای انجام شود، پس از ۲۵۰۰ ثانیه ضخامت رسب به حدود چند میکرومتر خواهد رسید؟ (ضریب نفوذ کربن در عمود بر سطح انجام شود).

ضریب نفوذ کربن در دمای 400°C را معادل $4 \times 10^{-8} \frac{\text{cm}}{\text{s}}$ قریب نمودیم.



-۹ آنالیز تصویری یک میکروگراف از یک آلیاز چدنی نشان می‌دهد که ریزساختار این آلیاز شامل ۴ درصد وزنی گرافیت، ۸۵ درصد وزنی پولیت و مابقی فریت است. درصد وزنی این چدن چقدر است؟

- (۱) ۴.۸
- (۲) ۴.۶
- (۳) ۴.۲
- (۴) ۴.۵

- ۱۰- حضور مقادیر بسیار ناچیزی از بیسموت در مس خالص می‌تواند منجر به ترد شدن سدید مس شود. در صورتی که انرژی مرزدانه‌های مس خالص $\frac{J}{m^2}$ باشد، انرژی فصل مشترک بین مس و بیسموت بر حسب $\frac{J}{m^2}$ را چقدر

تخمین می‌زنید؟

۱) ۶۰°

۲) ۱/۶

۳) ۷۵°

- ۱۱- در یک محلول دوتایی A-B، رابطه اکتیویته جزء A بر حسب ترکیب شیمیابی به صورت زیر داده شده است.
(K عددی ثابت است.)

$$\ln a_A = KX_B^r - RT \ln X_A$$

رابطه اکتیویته جزء B کدام گزینه است؟

$$KX_A^r - RT \ln X_B \quad (۱)$$

$$KX_A^r - RT \ln X_B - \ln X_B \quad (۲)$$

$$-KX_A^r - RT \ln X_B \quad (۳)$$

$$-KX_A^r - RT \ln X_B + \ln X_B \quad (۴)$$

- ۱۲- در محلول دوتایی A-B، انتالپی مولار جزئی اتحال A ($\Delta\bar{H}_A^M$) در دمای ۱۰۰°K از رابطه زیر پیروی می‌کند.

انتالپی مولار جزئی اتحال B در محلول A-B ۷۵°K چند $\frac{J}{mol}$ است؟

$$\Delta\bar{H}_A^M = ۱۰۰ X_A^r - ۱/۲ X_B + ۰/۰ V X_A X_B \left(\frac{J}{mol} \right)$$

$$\ln ۰/۵ = -۰/۶۹$$

$$-۳۲۰ \quad (۱)$$

$$-۱۷۴ \quad (۲)$$

$$+۲۲۰ \quad (۳)$$

$$+۱۷۴ \quad (۴)$$

- ۱۳- در دمای ۱۶۰°C، انتریوی یک مول سیلیسیوم مذاب خالص $\frac{cal}{K}$ (وانتریوی) چند $\frac{cal}{K}$ است. اگر مذاب‌های Fe و Si را بتوان با قاعده فرض کرد، انتریوی یک مول مذاب Si-۷۵°Fe در دمای فوق

بر حسب $\frac{cal}{K}$ چقدر است؟

$$(R = ۰/۰ \frac{cal}{mol \cdot K})$$

$$۹ - \ln ۰/۵ \quad (۱)$$

$$۹ - \ln ۰/۲۵ \quad (۲)$$

$$۱۸ - \ln ۰/۵ \quad (۳)$$

$$۱۸ - \ln ۰/۲۵ \quad (۴)$$

- ۱۴- محلولی از آهن و کروم حاوی ۲۰٪ مولی کروم در دمای ۱۹۱۰°C به صورت مذاب موجود است. اگر یک مول Cr

جامد در دمای ۲۵°C به مقدار زیادی از این محلول اضافه شود، تغییرات انتریوی (بر حسب $\frac{J}{mol \cdot K}$) این فرایند چقدر است؟ (فرض کنید آلیاژهای مذاب آهن و کروم ایندیال بوده و ظرفیت گرمایی در فشار ثابت برای کروم جامد
و مذاب تقریباً یکسان و برابر (-۵) در نظر گرفته شود.)

$$L_f^{Cr} = ۲۱ \frac{kJ}{mol}, T_m^{Cr} = ۱۹۰۰^\circ C$$

$$R = ۰/۰۱۴, \ln ۰/۲ = -۱/۶, \ln ۰/۳ = ۲$$

$$۵۳ \quad (۱)$$

$$۱۳ \quad (۲)$$

$$۷۳ \quad (۳)$$

$$۲۲ \quad (۴)$$

- ۱۵- آنتالپی مولی اتحال برای مذاب A-B بر حسب کالری بر مول از رابطه $\Delta H^M = 400 X_A X_B$ به دست می‌آید. آنتالپی مولار جزئی اتحال A برای محلول حاوی ۲۰ درصد آنمی B در دمای ۱۰۰°C برحسب کالری بر مول چقدر است؟

(۱) ۴۰۰ (۲) ۲۵۶ (۳) ۲۰۰ (۴) ۱۶۰

- ۱۶- دمای ذوب فلز خالص A ۱۲۰°C و گرمای نهان ذوب A در این دما ۴۸۰۰ کالری است. اگر آبیاز مذاب A-B حاوی یک درصد مولی B (رقیق از B) سرد شود، دمای شروع انجماد این آبیاز چند کلوین است؟ (از حلایت B در A در حالت جامد صرف نظر گردد و CP یک مول A و یک مول B را در دو حالت جامد و مذاب تقریباً یکسان فرض نماید).

$$R = \frac{\text{cal}}{\text{mol} \cdot \text{K}}$$

(۱) ۱۱۹۴ (۲) ۱۱۸۸ (۳) ۱۱۵۰ (۴) ۱۱۰۰

- ۱۷- برای یک محلول دوجزئی A و B مقدار $\Delta \bar{H}_A^M$ برای کدام است؟

(۱) $(1-X_A)^2 \Omega$ (۲) $(1-X_B)^2 \Omega$
 (۳) $(1-X_A) \Omega$ (۴) $(1-X_B) \Omega$

- ۱۸- در یک ظرف کلرور آمونیوم خالص قرار دارد. به ظرف حرارت داده می‌شود تا واکنش زیر به طور استوکیومتریک اتفاق بیفتد.



درجه آزادی این سیستم کدام است؟

(۱) صفر (۲) ۱ (۳) ۲ (۴) ۳

- ۱۹- دو عنصر A و B در حالت جامد به طور نسبی در یکدیگر حل شده و محلول‌های جامد α (عنی از A) و β (عنی از B) تشکیل می‌دهند. در دمای ۵۰°C، حد حلایت B در A در حالت جامد ۰.۷ درصد و حد حلایت A در B در همین دما ۰.۱ درصد است. در صورتی که رفتار B در فاز α و همچنین رفتار A در فاز β از قانون هنری پیوستگی داشته باشد، γ_A° و γ_B° کدام مورد است؟

(۱) با این اطلاعات قابل محاسبه نیست. (۲) $\gamma_A^\circ = ۷۰$, $\gamma_B^\circ = ۱۲۰$

(۳) $\gamma_A^\circ = ۱$, $\gamma_B^\circ = ۱$ (۴) $\gamma_A^\circ = ۸۳$, $\gamma_B^\circ = ۱۴۱$

- ۲۰- دو فلز A و B در کوره‌ای با دمای ۱۰۰°C کلوین و تحت فشار ۱ اتمسفر قرار دارند. در این شرایط کدام فلز باید از

$$\left(R = k \frac{J}{K} \right)$$



X	۰/۱	۰/۲	۰/۳	۰/۴	۰/۵	۰/۶	۰/۷	۰/۸	۰/۹
InX	-۲/۳	-۱/۶	-۱/۲	-۰/۹	-۰/۷	-۰/۵	-۰/۳۵	-۰/۲	-۰/۱

(۱) هیچ کدام

B و A (۲)

B (۳)

A (۴)

۲۱- جگالی رسوبات در یک آلیاز پیر سخت‌شونده از $\rho = 10^6 \text{ mm}^{-3}$ در اثر فرابری به $\rho = 10^5 \text{ mm}^{-3}$ می‌رسد. تغییرات تنفس تسلیم در صورتی که مکانیزم اوزروان فعال باشد، چقدر است؟

$$\frac{\tau_1}{\tau_2} = 20 \quad (4)$$

$$\frac{\tau_1}{\tau_2} = 15 \quad (3)$$

$$\frac{\tau_1}{\tau_2} = 10 \quad (2)$$

$$\frac{\tau_1}{\tau_2} = 5 \quad (1)$$

۲۲- ارتباط بین انحراف نقص چیدن γ و d فاصله تعادلی نابهجهای های جزئی توسط رابطه $\frac{1}{\gamma} d\alpha$ نشان داده می‌شود.

در صورتی که $\gamma_B = 40 \frac{\text{erg}}{\text{cm}^2}$ باشد، گزینه درست در مورد شکل پذیری فلزات A و B با ساختاری بلوری یکسان کدام است؟

(۱) شکل پذیری فلز A بیشتر از فلز B است.

(۲) شکل پذیری فلز A کمتر از فلز B است.

(۳) شکل پذیری فلز A و B با هم برابر است.

(۴) شکل پذیری فلز A می‌تواند بیشتر و یا کمتر از فلز B است.

۲۳- در منطقه گلوبی شدن در آزمایش کشش، تنفس حالت سه بعدی پیدا می‌کند. به دلیل این تنفس سه بعدی از ضربه بروجمن (K) $= \frac{\text{متوجه}}{\text{حیقیقی}}$ استفاده می‌شود. گزینه درست در مورد ضربه K کدام است؟

(۱) $K = 1$ همواره

(۲) $K > 1$ همواره

در بلور FCC واکنش نابهجهای $[1 \bar{1} \bar{1}] + [1 \bar{1} \bar{1}] \rightarrow [1 \bar{1} \bar{1}] + [1 \bar{1} \bar{1}]$ اتفاق می‌افتد که بردار $\frac{a}{2}[1 \bar{1} \bar{1}]$ در این سیستم بردار دوقطبی است. دو قطبی روی جه صفحه‌ای اتفاق می‌افتد.

(۳) ۲۱ (۴)

(۱) ۲۰ (۲)

(۱) ۱۲ (۲)

(۱) ۱۱ (۲)

۲۵- در صعود نابهجهای ها کدام گزینه درست است؟

(۱) با اعمال تنفس‌های کششی، تهی جای‌ها جذب نابهجهای و صعود مثبت رخ می‌دهد.

(۲) با اعمال تنفس‌های فشاری، تهی جای‌ها جذب نابهجهای و صعود منفی رخ می‌دهد.

(۳) با اعمال تنفس‌های فشاری، تهی جای‌ها جذب نابهجهای و صعود مثبت رخ می‌دهد.

(۴) صعود مثبت یا منفی به اعمال نوع تنفس بستگی ندارد.

۲۶- کدام گزینه در مورد کرنش ناسازگاری (misfit strain) در آلیاز‌های رسوب سخت شده درست است؟

(۱) در کرنش‌های ناسازگاری کم، نابهجهای‌ها رسوب‌ها را دور می‌زنند.

(۲) در کرنش‌های ناسازگاری زیاد، نابهجهای‌ها رسوب‌ها را برش می‌زنند.

(۳) در کرنش‌های ناسازگاری کم، قصل مشترک رسوب با زمینه ناهمدومن است.

(۴) در کرنش‌های ناسازگاری زیاد، قصل مشترک رسوب با زمینه ناهمدومن است.

۲۷- فلزی BCC در جهت $[0 \ 0 \ 1]$ تحت گشش فرار می‌گیرد. اگر $\frac{J}{m} = 1600 \text{ GPa}$ ، $\gamma = 6,4 \times 10^{-8} \text{ cm}^{-3}$ باشد، استحکام نظری این فلز چند GPa است؟

(۱) ۲۰۰ (۲)

(۳) ۱۶۰

(۴) ۸۰

- ۲۸- ارتباط بین چقرمگی شکست و میران بازشدن دهانه ترک (COD) یا δ طبق رابطه $G_c = n\sigma_y \delta$ می باشد. کدام گزینه در مورد II درست است؟
- در شرایط کرنش صفحه ای $n = 1$
 - گزینه ۱ و ۲ درست است.
- ۲۹- حد خستگی ماده ای در $-1 R = 800 \text{ MPa}$ و استحکام کششی آن 1600 MPa می باشد. در طراحی قطعه ای برای کار در شرایط تنش های تناوبی (با دامنه تنش $\sigma = 250 \text{ MPa}$ و تنش متوسط 700 MPa و طول عمر 10^7 سیکل) از معیار گودمن استفاده می شود. ضریب اینتی در نظر گرفته شده برای این طراحی چقدر است؟
- $1/8$
 - $2/5$
 - $1/6$
 - $2/3$
- ۳۰- کدام گزینه در مورد استحکام بخشی از طریق محلول جامد نادرست است؟
- واکنش الکترونیکی بین نایجایی ها و اتم های محلول
 - واکنش تشیمیایی بین نایجایی ها و اتم های محلول
 - واکنش کشسان بین نایجایی ها و اتم های محلول
 - برش اتم های محلول توسط نایجایی ها
- ۳۱- در متالوگرافی الکترونی نمونه ها را با میکروسکوپ های SEM و TEM چه اقداماتی را باید انجام داد؟
- کاهش ولتاژ شتاب دهنده در میکروسکوپ الکترونی روشی جهت نمونه های پلیمری و سرامیکی، و پوشش دهی نمونه های فویل نازک قبل از میکروسکوپ الکترونی عبوری
 - کاهش ولتاژ شتاب دهنده در میکروسکوپ الکترونی روشی جهت نمونه های پلیمری و پوشش دهی نمونه های فویل نازک قبل از میکروسکوپ الکترونی عبوری
 - پوشش دهی نمونه های غیرهادی الکترونی در میکروسکوپ الکترونی روشی و سرد نمودن نمونه های فویل نازک در میکروسکوپ الکترونی عبوری
 - پوشش دهی نمونه های غیرهادی الکترونی در میکروسکوپ الکترونی روشی و سرد نمودن نمونه های فویل نازک در میکروسکوپ الکترونی عبوری
- ۳۲- پرتو ایکس مشخصه K کدام یک از لامپ های زیر قادر به پراش از درجه اول صفحه ۱۱۲ یک ماده با شبکه بلوری مکعبی ساده و ثابت شبکه $1/5$ آنگستروم می شود؟
- مولیبدن با طول موج $\lambda_{K\alpha} = 0.7 \text{ Å}$ آنگستروم
 - کروم با طول موج $\lambda_{K\alpha} = 0.2 \text{ Å}$ آنگستروم
 - مس با طول موج $\lambda_{K\alpha} = 0.15 \text{ Å}$ آنگستروم
 - همه موارد درست است.
- ۳۳- الیازی منشکل از 75 درصد اتمی آهن و 25 درصد اتمی نیکل، پس از عملیات حرارتی، با دستگاه XRD آنالیز شده است. در الگوی پراش علاوه بر نیک های آهن و نیکل، چند نیک اضافی وجود دارد. کدام گزینه محتمل تر است؟
- این الیاز شامل عنصر آهن و نیکل و ترکیب بین فلزی Fe_xNi است.
 - این الیاز پس از عملیات حرارتی فقط شامل ترکیب بین فلزی Fe_xNi است.
 - این الیاز پس از عملیات حرارتی فقط شامل محلول جامد آهن و نیکل است.
 - این الیاز شامل عنصر آهن و نیکل است و تغییری در آن اتفاق نیافتد است.

- ۳۴- کدام گزینه قابلیت های میکروسکوپ الکترونی را در مقایسه با میکروسکوپ نوری مشخص می کند؟
- عمق میدان (Depth of focus) بیشتر، در حد میکرون برای مشاهده پستی و بلندی ها میکروآنالیز (Microanalysis)، امکان آنالیز عنصری در یک نقطه یا ناحیه قدرت تفکیک (Resolution) بالاتر، برای متمایز کردن دو نقطه با فاصله نانومتری بزرگنمایی (Magnification) بسیار زیاد، حدود یک میلیون برابر میکروسکوپ نوری
 - عمق میدان (Depth of focus) بیشتر، در حد میلی متر برای مشاهده پستی و بلندی ها میکروآنالیز (Microanalysis)، امکان آنالیز عنصری در یک نقطه یا ناحیه قدرت تفکیک (Resolution) بالاتر، برای متمایز کردن دو نقطه با فاصله نانومتری بزرگنمایی (Magnification) بسیار بالا، حدود هزار برابر میکروسکوپ نوری
 - عمق میدان (Depth of focus) بیشتر، در حد میکرون برای مشاهده سطح شکست میکروآنالیز (Microanalysis)، امکان آنالیز فازها در یک نقطه یا ناحیه قدرت تفکیک (Resolution) بالاتر، برای متمایز کردن دو نقطه با فاصله میکرونی بزرگنمایی (Magnification) بسیار بالا، حدود هزار برابر میکروسکوپ نوری
 - عمق میدان (Depth of focus) بیشتر، در حد میلی متر برای مشاهده سطح شکست میکروآنالیز (Microanalysis)، امکان آنالیز فازها در یک نقطه یا ناحیه قدرت تفکیک (Resolution) بالاتر، برای متمایز کردن دو نقطه با فاصله میکرونی بزرگنمایی (Magnification) بسیار زیاد، حدود یک هزار برابر میکروسکوپ نوری
- ۳۵- نتایج آنالیز نمونه ای فولادی به روش طیف سنجی نوری در جدول داده شده است. براساس این داده ها کدام گزینه درست است؟

%Fe	%P	%Mn	%Si	%C	محل آنالیز
۰/۹۷	۰/۰۵	۰/۶۵	۰/۳۶	۰/۶۴	سطح نمونه
۰/۹	۰/۰	۰/۶۸	۰/۳۸	۰/۶۱	مغز نمونه

- این نمونه فولاد گربنی است که در خلال عملیات حرارتی، کربن زدایی (Decarburized) شده است.
 - این نمونه فولاد است که تحت عملیات کربن دهی (Carburizing) فرار گرفته است.
 - این نمونه فولاد منگنز دار است که می توان آن را با کد AISI ۱۵۶۰ نشان داد.
 - این نمونه فولاد کربنی است که می توان آن را با کد AISI ۱۰۶۰ نشان داد.
- ۳۶- عناصر سبک و سنگین در نمونه ای حضور دارد. نتایج طیف تفکیک انرژی پرتوا ایکس (Energy Dispersive Spectroscopy, EDS) و مقایسه آن با طیف نمونه های استاندارد، حاکی از جذب پرتوهای ایکس عناصر سبک دارد. چگونه می توان اثر جذب این پرتوها را کاهش داد؟
- با افزایش زاویه بهره وری
 - با کاهش زاویه بهره وری
 - با دور کردن آشکارساز EDS در راستای خود از نمونه
 - با تزدیک کردن آشکارساز EDS در راستای خود به نمونه

- ۳۷- وانادیم با شبکه کربنیستالی bcc و ثابت شبکه ۳ آنگستروم تحت پراش پرتو ایکس با لامپ کروم (طول موج مشخصه $2,3 K\alpha$) قرار گرفته است. چند پیک در الگوی پراش ظاهر می‌شود؟

- (۱) ۶
- (۲) ۴
- (۳) ۳
- (۴) ۲

- ۳۸- ویژگی کنتراست Z با حد تفکیک بالا و علت ایجاد آن در میکروسکوپی الکترونی عبوری روبشی جیست؟
 ۱) کنتراست عدد اتمی با حد تفکیک بالا در تصویر زمینه تاریک تشکیل می‌شود، زیرا کنتراست شامل پرتوهای پراش باتفاقه است.

۲) کنتراست Z با حد تفکیک بالا در تصویر زمینه روشن تشکیل می‌شود، زیرا کنتراست حاصل، به علت قرارگیری آشکارساز خار مقابل پرتو عبوری، غاری از پرتوهای پراش باتفاقه است.

۳) کنتراست Z با حد تفکیک بالا در تصویر زمینه روشن تشکیل می‌شود، زیرا کنتراست حاصل، به علت قرارگیری آشکارساز در مقابل پرتو عبوری، دارای شدت‌های متفاوت از مناطق مختلف نمونه است.

۴) کنتراست Z با حد تفکیک بالا در تصویر زمینه تاریک تشکیل می‌شود، زیرا کنتراست حاصل، به علت قرارگیری آشکارساز تحت زاویه بیشتر از زوایای پراش صفحات، غاری از پرتوهای پراش باتفاقه است.

- ۳۹- از کدام موارد می‌توان برای افزایش قدرت تفکیک میکروسکوپ الکترونی روبشی استفاده نمود؟

۱) کاهش طول روبش، کاهش اندازه روزنه شیئی، کاهش فاصله کاری نمونه و کاهش سرعت روبش

۲) افزایش طول روبش، افزایش اندازه روزنه شیئی، افزایش فاصله کاری نمونه و کاهش سرعت روبش

۳) افزایش طول روبش، افزایش اندازه روزنه شیئی، کاهش فاصله کاری نمونه و افزایش سرعت روبش

۴) کاهش طول روبش، افزایش اندازه روزنه شیئی، افزایش فاصله کاری نمونه و افزایش سرعت روبش

- ۴۰- کدام گزینه در مورد میکروسکوپ الکترونی روبشی تحت خلاء کم (Low Vacuum SEM) نسبت به میکروسکوپ الکترونی روبشی (نوع مرسوم) درست است؟

۱) امکان ردیابی الکترون‌های برگشتی وجود دارد ولی نیازی به آماده‌سازی نمونه‌های غیرهادی به جهت پوشش دهنده نیست.

۲) حد تفکیک کاهش می‌باید ولیکن نیازی به آماده‌سازی نمونه‌های غیرهادی به جهت پوشش دهنده نیست.

۳) امکان ردیابی الکترون‌های برگشتی وجود ندارد ولی نمونه‌های غیرهادی باید پوشش داده شوند.

۴) حد تفکیک کاهش می‌باید و نمونه‌های غیرهادی باید مورد پوشش دهنده قرار گیرند.

- ۴۱- چه اطلاعاتی از روش‌های XPS و XRD به دست می‌آید؟

۱) تعیین عناصر از XRF، تعیین فرمول شیمیایی فازهای بلوری از XRD، تعیین عناصر و فرمول شیمیایی از XPS

۲) تعیین عناصر از XRD، تعیین فرمول شیمیایی فازهای بلوری از XRF، تعیین عناصر و فرمول شیمیایی از XPS

۳) تعیین عناصر از XPS، تعیین فرمول شیمیایی فازهای بلوری از XRF، تعیین عناصر و فرمول شیمیایی از XRD

۴) تعیین عناصر از XRF، تعیین فرمول شیمیایی فازهای بلوری از XPS، تعیین عناصر و فرمول شیمیایی از XRD

۴۲- چه نفاوتی در مکانیزم تصویرسازی بین دو میکروسکوپ الکترونی روبشی (SEM) و میکروسکوپ الکترونی روبشی نشر میدانی (Field Emission (FESEM)) وجود دارد؟

۱) در میکروسکوپ الکترونی نشر میدانی المنت شنگستن در خلاء بالاتری کار می کند تا الکترون دهی بیشتری داشته باشد و تصویری با وضوح بسیار عالی در بزرگنمایی های بالا ایجاد کند.

۲) در میکروسکوپ الکترونی نشر میدانی المنت شنگستن در دمای بالاتری کار می کند تا الکترون دهی بیشتری داشته باشد و تصویری با وضوح بسیار عالی در بزرگنمایی های بالا ایجاد کند.

۳) در میکروسکوپ الکترونی نشر میدانی به جای المنت شنگستن از انتشار سرد (cold field emission) برای تولید الکترون استفاده می شود. مزیت اصلی این میکروسکوپ امکان به کارگیری ولتاژ های بالاتر برای دستیابی به وضوح بیشتر تصویر است.

۴) در میکروسکوپ الکترونی نشر میدانی به جای المنت شنگستن از انتشار سرد (cold field emission) برای تولید الکترون استفاده می شود. مزیت اصلی این میکروسکوپ وضوح بسیار عالی در بزرگنمایی های بالا با ولتاژ کم است.

۴۳- آیا برای آنالیز عنصری یک نمونه سرامیکی، به جای روش XRF می توان از طبقه سنج نوری (کواتومتر) استفاده کرد و دلیل آن کدام است؟

۱) حیر - دقت آنالیز برای عناصر سیک موجود در مواد سرامیکی در این روش بسیار کم است.

۲) حیر - این روش فقط برای نمونه های فلزی که هادی حریان الکتریسیته باشند، قابل استفاده است.

۳) بله - سرعت بیشتری دارد، اما فقط عناصر موجود را شناسایی می کند و آنالیز کمی امکان بذیر نیست.

۴) بله - سرعت بیشتری دارد، اما فقط عناصر غیرفلزی را شناسایی می کند و قابلیت شناسایی عناصر غیرفلزی را ندارد.

۴۴- در تعیین ترکیب شیمیایی یک فولاد به روش XRF متوجه شد که عناصر Cr, Fe, Co و Ni حاضر هستند. در محاسبه کمی عناصر کدام مورد محتمل است؟ مقدار انرژی پرتوهای ایکس K α عناصر به صورت زیر است.

Co : ۶,۹۲ keV

Cr : ۵,۴۱ keV

Ni : ۷,۴۸ keV

Fe : ۶,۴۰ keV

۱) فلورسانس سایر عناصر نسبت به پرتو Cr - K α روی می دهد و Cr بیشتر از حد جلوه می کند.

۲) فلورسانس سایر عناصر نسبت به پرتو Ni - K α روی می دهد و Ni کمتر از حد جلوه می کند.

۳) فلورسانس سایر عناصر نسبت به پرتو Cr - K α روی می دهد و Cr کمتر از حد جلوه می کند.

۴) فلورسانس سایر عناصر نسبت به پرتو Ni - K α روی می دهد و Ni بیشتر از حد جلوه می کند.

- ۴۵- الیازی از آلومینیوم در حالت آنیل شده با طیف استج نوری آنالیز شده و درصد عنصر به صورت زیر بدست آمده است. کد الیاز کدام است؟

Al	Cu	Ti	Cr	Zn	Mn	Mg	Fe	Si	عنصر
نقيه	۲/۲۰	۰/۱۵	۰/۲۰	۰/۴۰	۰/۲۸	۲/۷۰	۰/۵۳	۰/۳۸	درصد وزنی

«ترکیب شیمیایی الیازهای آلومینیوم/عملیات حرارتی پذیر»

IADS designation	Si	Fe	Cu	Mn	Mg	Zn	Cr	Ti	Other
2011	0.40	0.7	5.0-6.0			0.30			0.2-0.68; 0.2-0.6Pb
2014	0.50-1.2	0.7	3.9-5.0	0.40-1.2	0.20-0.8	0.25	0.10	0.15	0.22r+Ti
2017	0.2-0.8	0.7	3.5-4.5	0.4-1.0	0.4-0.8	0.25	0.10	0.15	0.22r+Ti
2618	0.10-0.25	0.9-1.3	1.9-2.7		1.3-1.8	0.10		0.04-0.10	0.9-1.2Ni
2219	0.20	0.30	5.8-8.8	0.20-0.40	0.02	0.10		0.02-0.10	0.06-0.15V; 0.10-0.25Zr
2021	0.20	0.30	5.8-8.8	0.20-0.40	0.02	0.10		0.02-0.10	0.10-0.25Zr; 0.06-0.20Cd
2024	0.50	0.50	3.8-4.9	0.30-0.9	1.2-1.8	0.25	0.10	0.15	0.20Zr+Ti
2124	0.20	0.30	3.8-4.8	0.30-0.9	1.2-1.8	0.25	0.10	0.15	0.20Zr+Ti
2025	0.50-1.2	1.0	3.9-5.0	0.40-1.2	0.05	0.25	0.10	0.15	
2036	0.50	0.50	2.2-3.0	0.10-0.40	0.30-0.6	0.25	0.10	0.15	
2048	0.15	0.20	2.8-3.8	0.20-0.6	1.2-1.8	0.25	0.10	0.10	
2020	0.40	0.40	4.0-5.0	0.30-0.8	0.03	0.25	0.10	0.10	0.9-1.7; 0.10-0.25Cd
6083	0.20-0.6	0.35	0.10	0.10	0.45-0.9	0.10	0.10	0.10	
6483	0.20-0.6	0.15	0.20	0.05	0.45-0.9	0.05			
6081	0.40-0.8	0.7	0.15-0.40	0.15	0.8-1.2	0.25	0.04-0.35	0.15	
6151	0.8-1.2	1.0	0.35	0.20	0.45-0.8	0.25	0.15-0.45	0.15	
6351	0.7-1.3	0.50	0.10	0.40-0.8	0.40-0.8	0.20			0.20
6262	0.40-0.8	0.7	0.15-0.40	0.15	0.8-1.2	0.25	0.04-0.15	0.15	0.40-0.78; 0.40-0.7Pb
6009	0.6-1.6	0.50	0.15-0.8	0.2-0.8	0.40-0.8	0.25	0.1	0.10	
6010	0.8-1.2	0.50	0.15-0.8	0.2-0.8	0.6-1.0	0.25	0.1	0.10	
7001	0.35	0.040	1.6-2.0	0.20	2.6-3.4	6.8-8.0	0.15-0.35	0.20	
7004	0.25	0.35	0.05	0.20-0.7	1.0-2.0	3.6-4.6	0.05	0.06	0.10-0.20Zr
7005	0.35	0.40	0.10	0.20-0.7	1.0-1.2	4.0-5.0	0.06-0.20	0.01-0.06	0.08-0.20Zr
7009	0.20	0.20	0.6-1.3	0.10	2.1-2.9	5.5-6.5	0.10-0.25	0.20	0.25-0.40Ag
7010	0.10	0.15	1.5-2.0	0.30	2.3-2.7	5.7-6.7	0.05		0.11-0.17Zr
7039	0.30	0.40	0.10	0.10-0.40	2.3-3.3	3.5-4.5	0.15-0.25	0.10	
7049	0.25	0.35	1.2-1.9	0.20	2.0-2.9	7.2-8.2	0.10-0.22	0.10	
7050	0.12	0.15	2.0-2.8	0.10	1.8-2.6	6.7-6.7	0.04	0.06	0.08-0.15Zr
7076	0.40	0.50	1.2-2.0	0.30	2.1-2.8	5.1-6.1	0.18-0.28	0.20	0.25Zr+Ti
7475	0.10	0.12	1.2-1.9	0.05	1.8-2.6	6.2-6.2	0.18-0.25	0.06	
7178	0.40	0.50	1.6-2.4	0.30	2.4-3.1	6.3-7.3	0.18-0.35	0.20	
7079	0.30	0.40	0.40-0.8	0.10-0.30	2.9-3.7	3.8-4.8	0.10-0.25	0.10	

Compositions are in % maximum by weight unless shown as a range.

X1A-T6 (F)

Y1Y8-O (F)

Y0Y8-T9 (F)

Y0Y5-O (F)